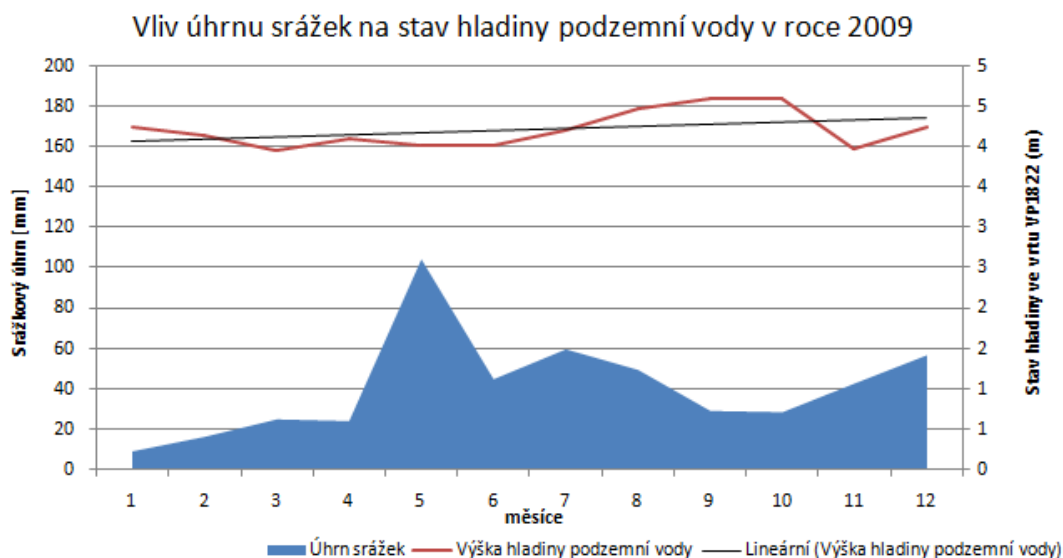


# SEZNAM PŘÍLOH

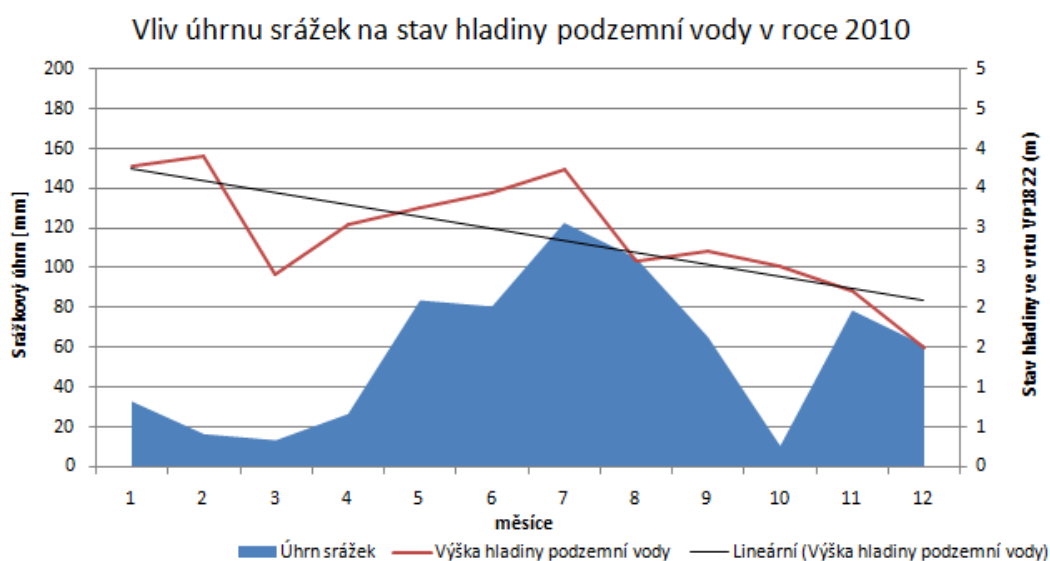
**Příloha 1:** Graf vlivu úhrnu srážek na hladinu podzemní vody ve vrtu VP1822 v roce 2009

(zdroj: autorka)



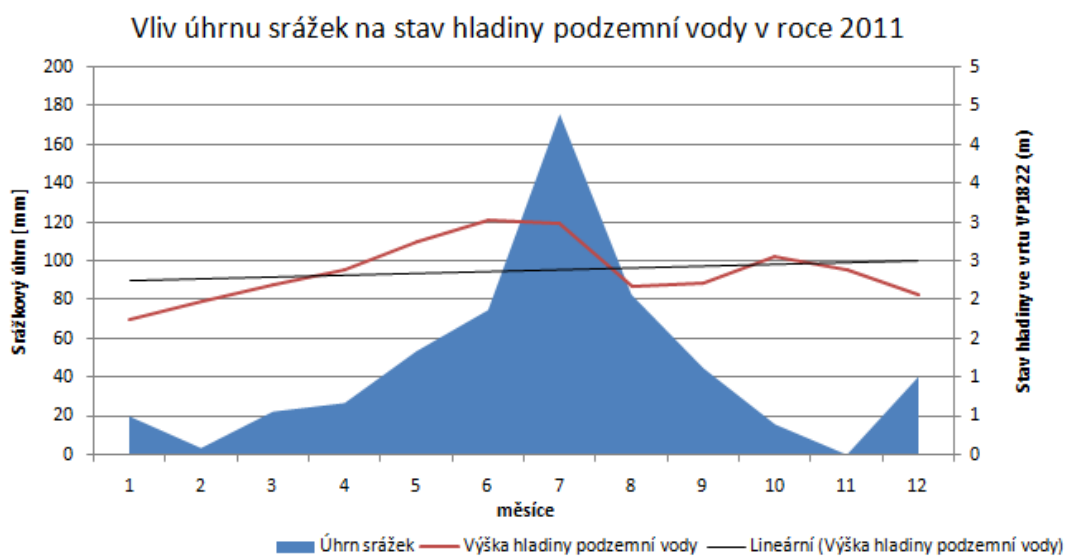
**Příloha 2:** Graf vlivu úhrnu srážek na hladinu podzemní vody ve vrtu VP1822 v roce 2010

(zdroj: autorka)



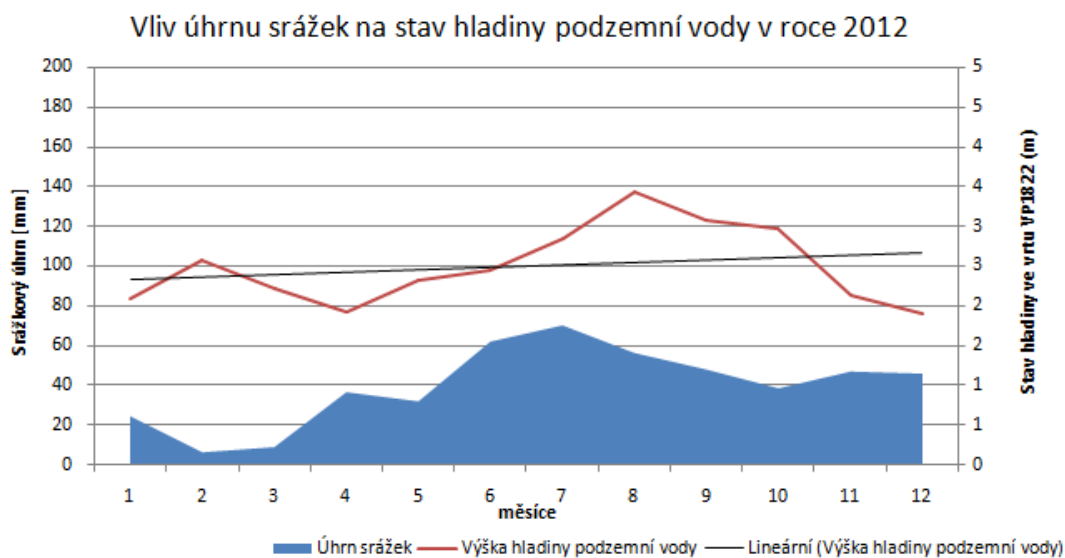
**Příloha 3:** Graf vlivu úhrnu srážek na hladinu podzemní vody ve vrtu VP1822 v roce 2011

(zdroj: autorka)



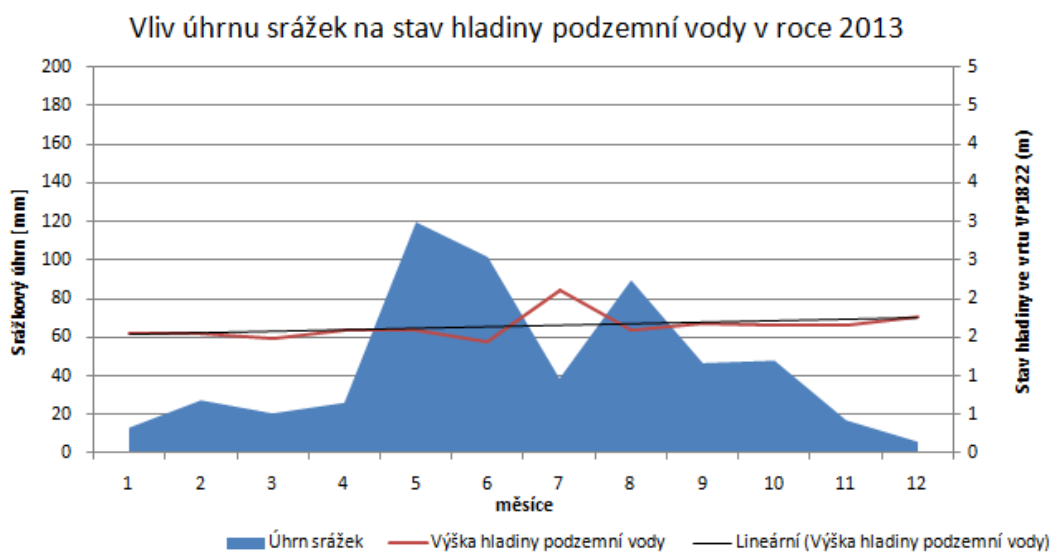
**Příloha 4:** Graf vlivu úhrnu srážek na hladinu podzemní vody ve vrtu VP1822 v roce 2012

(zdroj: autorka)



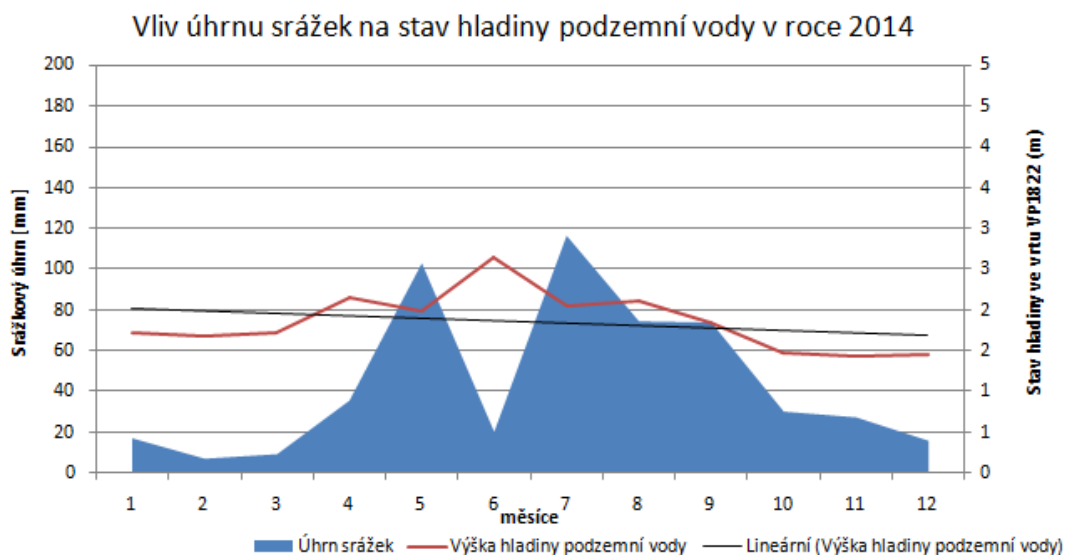
**Příloha 5:** Graf vlivu úhrnu srážek na hladinu podzemní vody ve vrtu VP1822 v roce 2013

(zdroj: autorka)



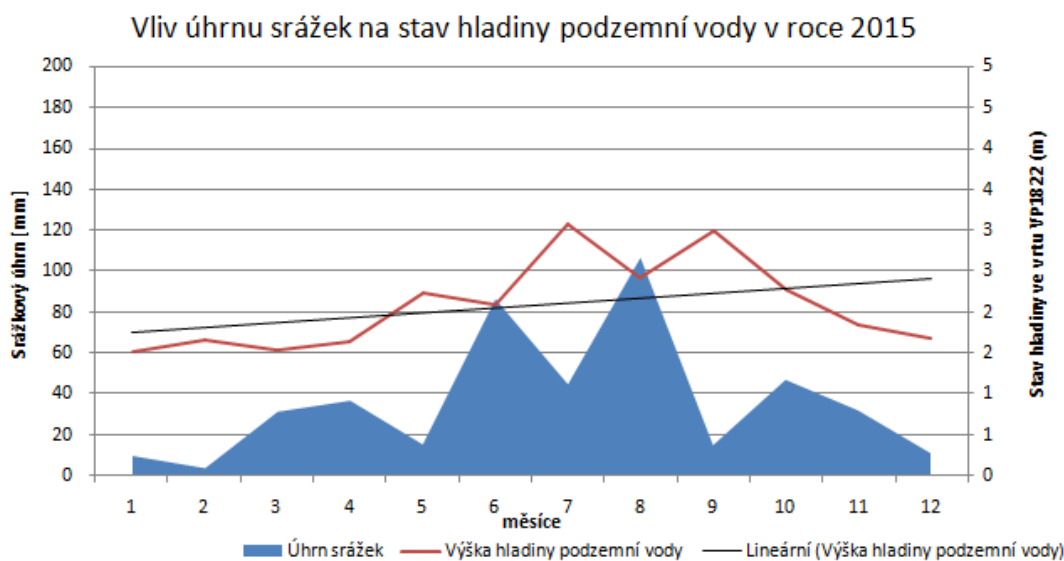
**Příloha 6:** Graf vlivu úhrnu srážek na hladinu podzemní vody ve vrtu VP1822 v roce 2014

(zdroj: autorka)



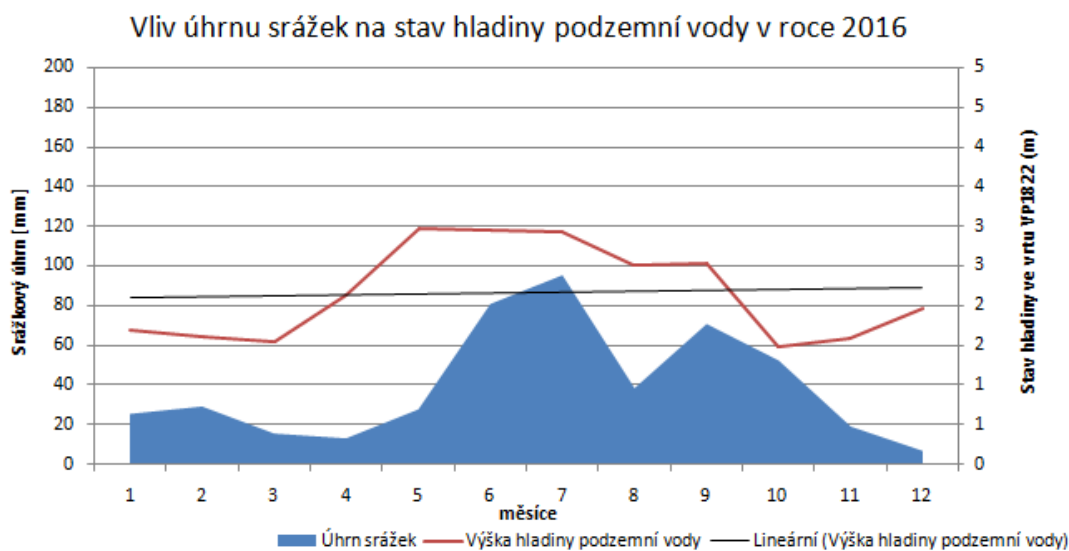
**Příloha 7:** Graf vlivu úhrnu srážek na hladinu podzemní vody ve vrtu VP1822 v roce 2015

(zdroj: autorka)



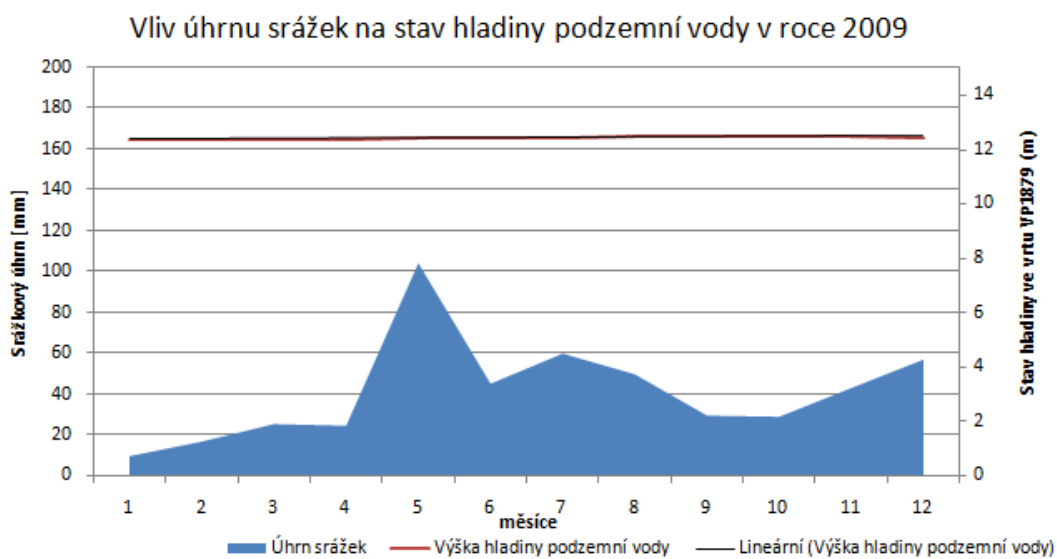
**Příloha 8:** Graf vlivu úhrnu srážek na hladinu podzemní vody ve vrtu VP1822 v roce 2016

(zdroj: autorka)



**Příloha 9:** Graf vlivu úhrnu srážek na hladinu podzemní vody ve vrtu VP1879 v roce 2009

(zdroj: autorka)



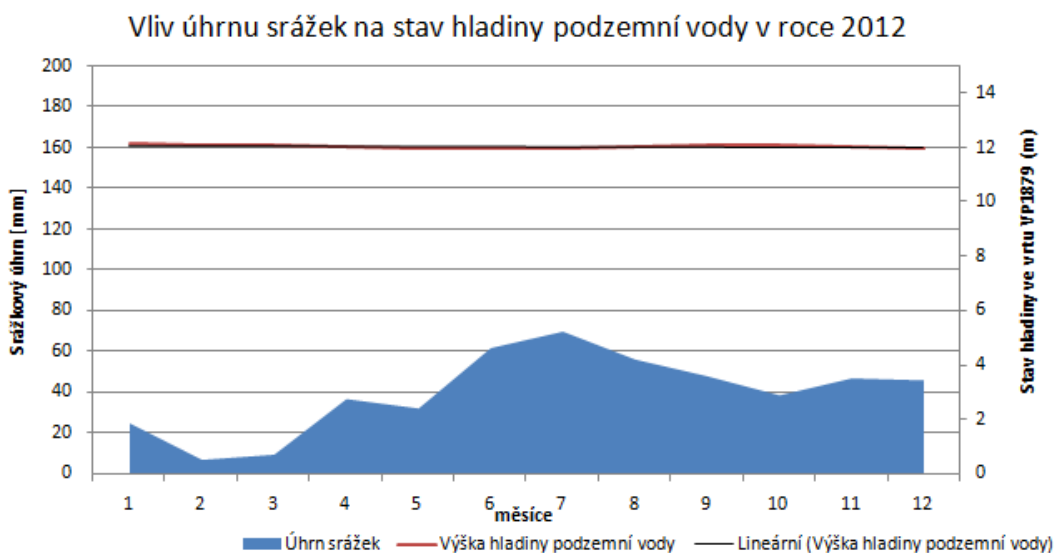
**Příloha 10:** Graf vlivu úhrnu srážek na hladinu podzemní vody ve vrtu VP1879 v roce 2010 (zdroj: autorka)



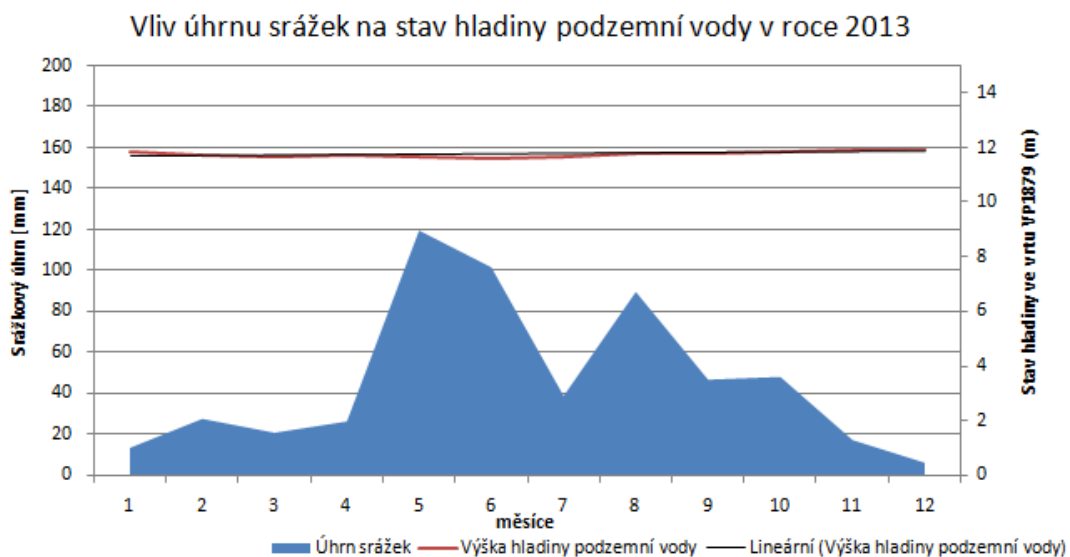
**Příloha 11:** Graf vlivu úhrnu srážek na hladinu podzemní vody ve vrtu VP1879 v roce 2011 (zdroj: autorka)



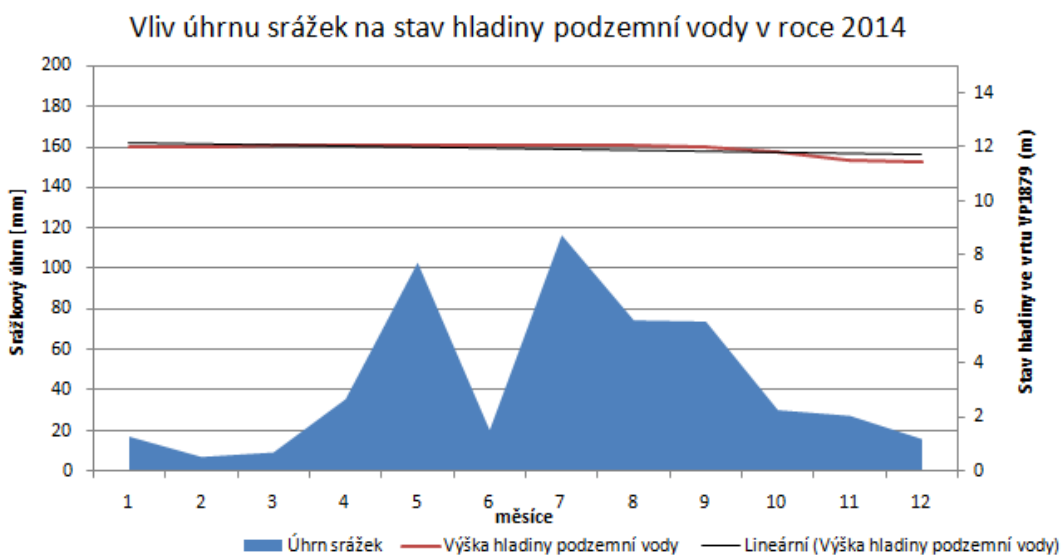
**Příloha 12:** Graf vlivu úhrnu srážek na hladinu podzemní vody ve vrtu VP1879 v roce 2012 (zdroj: autorka)



**Příloha 13:** Graf vlivu úhrnu srážek na hladinu podzemní vody ve vrtu VP1879 v roce 2013 (zdroj: autorka)



**Příloha 14:** Graf vlivu úhrnu srážek na hladinu podzemní vody ve vrtu VP1879 v roce 2014 (zdroj: autorka)



**Příloha 15:** Graf vlivu úhrnu srážek na hladinu podzemní vody ve vrtu VP1879 v roce 2015 (zdroj: autorka)

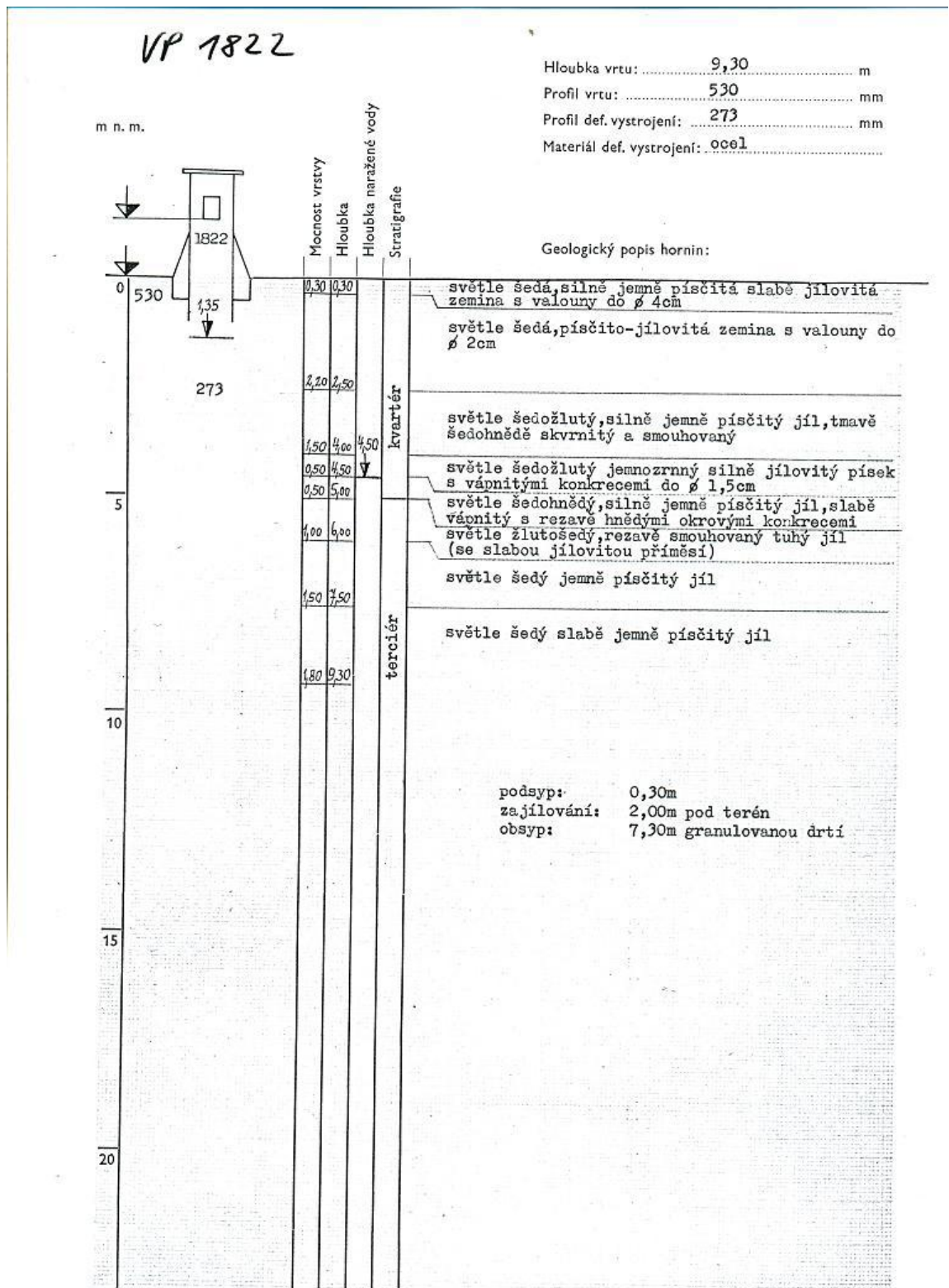


**Příloha 16:** Graf vlivu úhrnu srážek na hladinu podzemní vody ve vrtu VP1879 v roce 2016 (zdroj: autorka)





**Příloha 17: Geologie a umístění vrtu VP1822**



## Geologická část skutečného provedení

Číslo	Hydrogeologický rajon	Kraj
<b>VP1819N</b>	<b>213</b>	<b>Ústecký</b>
<b>a)</b>	Účel vrtu	pozorovací vrt nový
	Hloubka vrtu	21,5 m
	Orientace vrtu (směr, úklon)	svislý
<b>b)</b>	Skutečný geologický profil	na konci textu
	Sledovaný kolektor	terciér - miocén
	Předpokládaná hydrogeologická fce. horninových typů	hlína, jíl - izolátor písek, štěrk, písčité jíly - kolektor
	Hloubkové úrovně hydrogeo. kolektorů	13-15,5 m 19-23,0 m
	Hloubkové úrovně izolátorů	15,5 - 16,0 m 23,0-25,0
	Hloubkové úrovně hladiny podzemní vody naražené	13 m, 19 m
	Hloubkové úrovně hladiny podzemní vody ustálené	12,41 m od odm. b. před ČZ
	Přítomnost plynů	nebyla
	Teplota vody	10,8 - 12,1 °C během HDZ
	<b>c)</b>	Hloubky obtíží při vrtání (svírání, příchvaty, ztráty výplachu atd.)
<b>d)</b>	Typ a intervaly odběrů vzorků horniny	sítový vzorek.
<b>e)</b>	Karotážní měření, účel a rozsah	kamera po vystrojení - revizní
<b>f)</b>	Izolace hydrogeologických horninových typů	0 - 10 m cementace, 10 - 10,5 m pískový polštář
<b>g)</b>	Hydrodynamické testy - metodika:	Jacob - ČZ při Q konst., SZ
	délka,	36+12 hodin
	způsob měření,	hladinové čidlo + vodoměr
	frekvence měření,	1 minuta
	odběr vzorků vody,	v 36 hod.
rozsah analýzy	ÚCHR, NEL, TOC	
<b>h)</b>	Způsob aktivace monitorovacího horninového kolektoru:	perforace výstroje příčná šíře štěrbin 1,0 mm
	typ hloubkové úrovně perforace,	11,5 - 15,5 m; 16,5 - 20,5 m
	% perforace,	5%
	% ověření úseku,	100%
	stabilizační a filtrační obsyp	od 10,5 m štěrk frakce 4/8 mm
<b>Ostatní poznámky</b>		
Typ zhlaví vrtu	rotačně odklopné	
Typ ochranného objektu vrtu	nerezové otočné zhlaví, betonová skruž	
Poznámka		